

УДК 621.039.84

## О числовых факторах накопления и средней энергии гамма-спектра за рассеивающими средами

ГУСЕВ А. А.

Как известно, при прохождении через вещество дискретный спектр первичных  $\gamma$ -квантов преобразуется в непрерывный. В нем представлены все энергии от минимальной  $E_{\text{K}}$  (отсечки) до начальной  $E_0$ . Роль рассеянных фотонов учитывают факторами накопления. Имеется много данных по энергетическим  $B_a$ , дозовым  $B_d$  факторам и факторам накопления поглощенной энергии  $B_N$  [1—4]. В то же время информация о факторах накопления числа квантов  $B_N$  невелика. Она практически исчерпывается несколькими графиками [5] и косвенно рядом таблиц [2].

Каждый непрерывный спектр может быть охарактеризован средней энергией  $\bar{E}$ . Она определяется на основе выявления спектральных распределений, что весьма сложно. Отдельные значения  $\bar{E}$  можно найти из распределений, приводимых в работах [1—3] и др. Их число, однако, не охватывает многих встречающихся сочетаний  $E_0$ ,  $\mu\text{рх}$  и геометрии ( $\mu$ ,  $\rho$  и  $x$  — массовый коэффициент ослабления, плотность и толщина среды).

Знание  $B_N$  и  $\bar{E}$  необходимо, в частности, для расчета приборов, действующих по принципу просвечивания сред широким пучком  $\gamma$ -излучения: уровнемеры, измерители плотности, толщины и т. п.

Автором с сотрудниками разработан способ определения  $\bar{E}$  без нахождения спектральных распределений  $\gamma$ -квантов [6]. За основу принято то, что в некотором

Примеры значений  $\lambda$ ,  $a$  и  $b$

$E_0$ , МэВ	Вещество	$\mu\text{рх}$	$\lambda$	$a$	$b$
0,66	Железо	$< 4,5$	0,28	0,76	0,07
	Мрамор	$< 4$	0,23	0,57	0,36
	Легкие среды *	$< 4$	0,23	0,86	0,42
1,25	Железо	$< 4,5$	0,46	0,90	0,13
	Алюминий	$< 3$	0,37	1,90	0,018
	Легкие среды	$< 3$	0,37	1,1	0,26

\* Вода, древесно-волокнистая плита (ДВП), сухая штукатурка (СШ) и т. п.

диапазоне энергии фотонов отношение эффективностей газоразрядных счетчиков с катодами из веществ, отличающихся по атомному номеру, есть однозначная функция  $E$ . Например, для пары вольфрам — графит  $E = 0,08 \div 1,5$  МэВ. Корректность способа подтверждена опытами с монохроматическими излучателями ( $^{141}\text{Ce}$ ,  $^{203}\text{Hg}$ ,  $^{137}\text{Cs}$ ,  $^{85}\text{Kr}$ ), спектрометрическими экспериментами и расчетами по методу Монте-Карло. Этот способ, значительно упрощая измерение  $\bar{E}$  и  $B_N$ , может применяться в исследованиях  $\gamma$ - поля в барьерной геометрии, когда  $\mu\text{рх} < 3,5 \div 4$ . Именно такие условия отвечают большинству применений аппаратуры, использующей просвечивание сред  $\gamma$ -излучением.

Данным способом, а также с помощью сцинтилляционной спектроскопии и расчетов по методу Монте-Карло были измерены  $\bar{E}$  и  $B_N$  для часто встречающихся на практике случаев геометрии ограниченных барьеров и исследована их зависимость от определяющих параметров.

При изучавшейся толщине ( $\mu\text{рх} < 4,5$ ) для  $L = 10 \div 90$  см и  $l = 5 \div 45$  см не обнаружено существенного влияния  $L$  и  $l$  на  $\bar{E}$  и  $B_N$  ( $L$  — расстояние от источника до детектора,  $l$  — от источника до барьера). Мало влияет и колимация источника, если угол раствора пучка квантов больше  $37 \div 40^\circ$ . С увеличением коллимации  $\bar{E}$  стремится к  $E_0$ , а  $B_N$  — к единице, что объясняется снижением доли попадающих в детектор рассеянных фотонов. Таким образом, можно считать, что при указанных условиях  $\bar{E}$  и  $B_N$  — практически лишь функции поверхностной плотности среды, ее атомного номера  $Z$  и энергии  $E_0$ . Это позволило усреднить  $B_N$  и  $\bar{E}$ , отвечающие данным условиям.

Установленную зависимость  $\bar{E} = E$  ( $\mu\text{рх}$ ) иллюстрирует рис. 1. Экспериментальные точки достаточно хорошо ложатся на кривую, описываемую уравнением

$$\bar{E} = E_0 \exp(-\lambda \mu\text{рх}), \quad (1)$$

где  $\lambda$  — функция  $E_0$  и  $Z$  (см. таблицу).

На рис. 2 дан пример зависимости  $B_N = B$  ( $\mu\text{рх}$ ). Последнюю можно аппроксимировать выражением Бергера — Чилтона [4]

$$B_N = 1 + a \mu\text{рх} \exp(b \mu\text{рх}), \quad (2)$$

где  $a$  и  $b$  — функции  $E_0$  и  $Z$  (см. таблицу).

На рис. 1 и 2 указаны и данные для плоскопараллельного пучка квантов в [5]. По крайней мере до  $\mu\text{рх} = 3 \div 3,5$  они вполне согласуются с установленными автором для точечного источника. Это согласуется

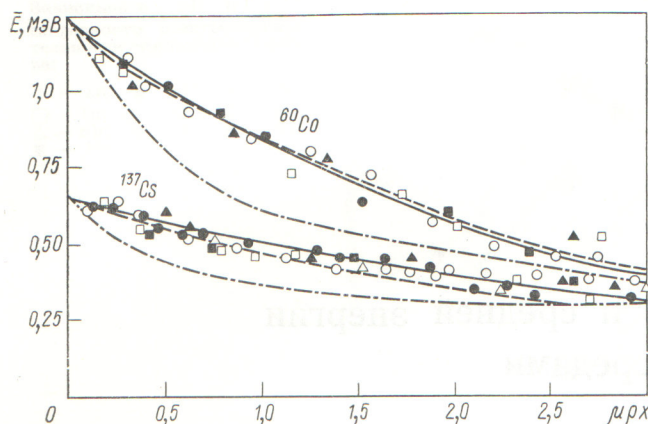


Рис. 1. Зависимость  $\bar{E} = E (\mu\text{ж})$  для воды (○), ДВП (●), алюминия (□), СП (■) и мрамора (▲) и СВАМа (△): — эксперимент; - - - расчетный график [5]; - - - - расчетная кривая [2]

с выводом [7] о правомерности описания  $B_N$  точечного источника графиками [5]. Здесь же приведены данные, найденные из спектральных распределений для бесконечной среды [2]. Известно, что  $B_N < B_\infty$ , а  $\bar{E} > E_\infty$ . Такой вывод следует и из рис. 1 и 2. Все это служит критерием справедливости обсуждаемых данных.

Для гетерогенных систем из  $j$  слоев  $\bar{B}_N$  и  $\bar{E}$  можно описать следующими формулами, если применить принцип, напоминающий «аналитическое продолжение», реализуемое в расчетах защиты [4]:

$$\bar{B}_N = \prod_{i=1}^j B_{Ni} (\mu_i \rho_i x'_i); \quad \bar{E}_j = E_0 \exp \left( - \sum_{i=1}^j \lambda_i \mu_i \rho_i x'_i \right), \quad (3)$$

где

$$x'_i = x_i \exp \left[ - \sum_{k=1}^{i-1} (1 + \lambda_k) \mu_k \rho_k x'_k \right]. \quad (4)$$

Формулы справедливы для систем, суммарная толщина которых 3–3,5 свободных пробега  $\gamma$ -квантов, когда завершает систему тяжелая среда (счет слоев ведется от источника). При этом расчетные и экспери-

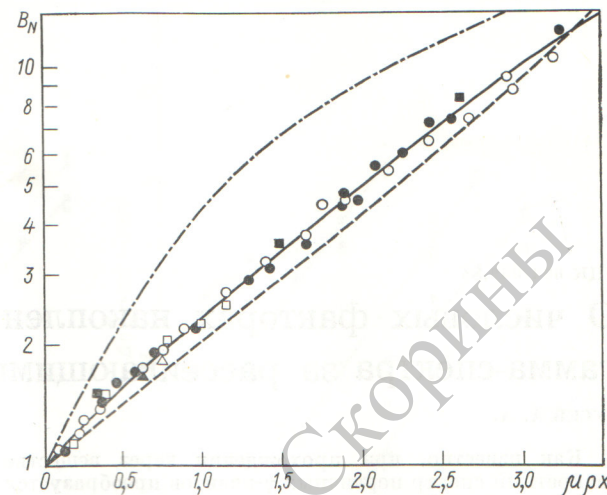


Рис. 2. Зависимость  $B_N = B (\mu\text{ж})$ . Обозначения те же, что на рис. 1

ментальные значения  $\bar{E}$  и  $\bar{B}_N$  обычно согласуются в пределах точности опыта.

Поступило в Редакцию 19/XI 1974 г.

#### СПИСОК ЛИТЕРАТУРЫ

- Лейпунский О. И. и др. Распространение гамма-квантов в веществе. М., Физматгиз, 1960.
- Гольдштейн Г., Уилкинс Дж. В сб.: Защита транспортных установок с ядерным двигателем. М., Изд-во иностран. лит., 1961, с. 212.
- Гусев Н. Г. и др. Защита от ионизирующих излучений. Т. 1. М., Атомиздат, 1969.
- Руководство по радиационной защите для инженеров. Т. 1. М., Атомиздат, 1972.
- Peebles G. «J. Appl. Phys.», 1953, v. 24, N 10, p. 1272.
- Гусев А. А. и др. В сб.: Физика. Докл. XXVIII научной конференции ЛИСИ. Л., изд. ЛИСИ, 1970, с. 26.
- Eife K. Die Bestimmung des Raumgewichtes von Böden und Gesteinen durch Gamma-Strahlen. Freiburger Forschungshefte. Berlin, Akademie Verlag, 1959, N C61.

УДК 550.835.553.064

## Количественные соотношения tantalа, радиоактивных элементов и циркона в редкометальных рудах

КОТЕЛЬНИКОВ Г. Н.

При мелкомасштабном картировании и поисках обнаруживается большое число радиоактивных участков с комплексной уран-ториевой природой радиоактивности. Аномалии в гранитоидах и кислых ортогнейсах с невысокой интенсивностью  $\gamma$ -излучения и преобладанием тория ( $\text{Th} : \text{U} > 1$ ) обычно классифицируются как породные и отбраковываются еще на стадии поисков.

Среди таких аномалий выявлено несколько перспективных редкометальных рудопроявлений, локализующихся в эндо-экзоконтактах девонских гранитоидных интрузий, прорывающих метаморфические сланцы протерозоя — нижнего палеозоя. Визуальная диагностика редкометального оруденения вследствие малых размеров кристаллов колумбита-танталита и пирохлора (0,08–0,1 мм) затруднена [1], но при изучении рудо-